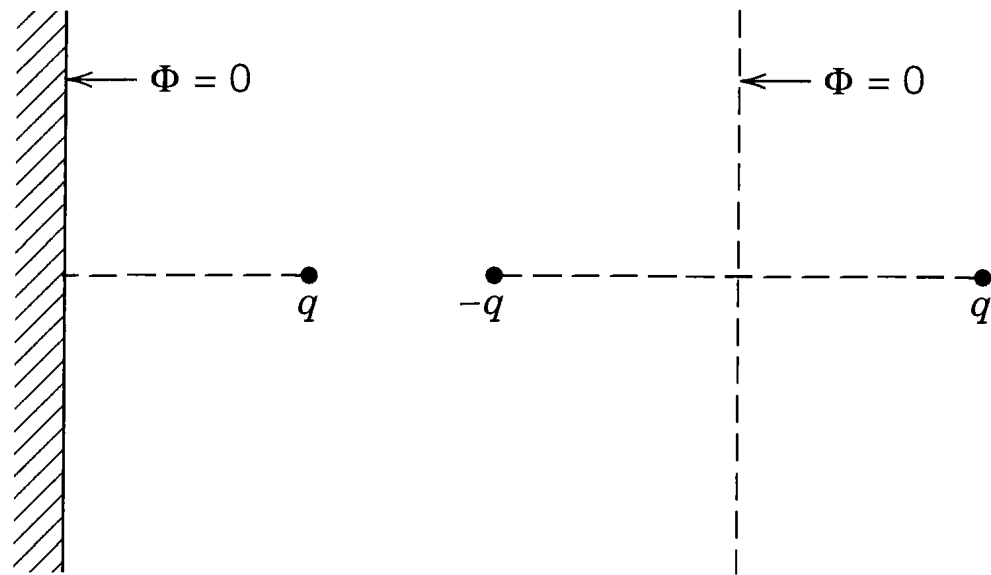
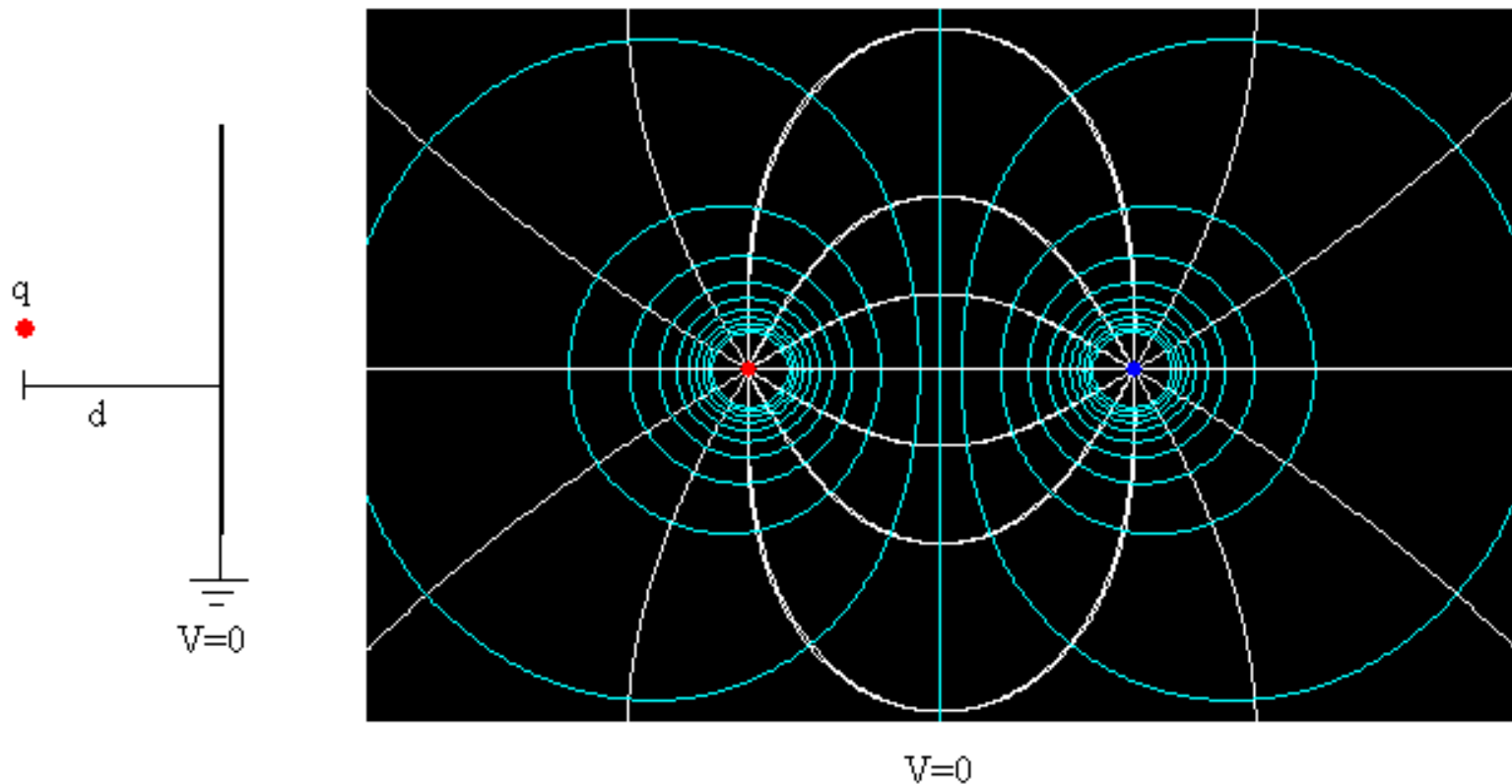


# Plano conductor



**Figure 1.**

$$\Phi(x) = \frac{q}{4\pi\varepsilon_0} \left( \frac{1}{|x - d\hat{n}|} - \frac{1}{|x + d\hat{n}|} \right)$$



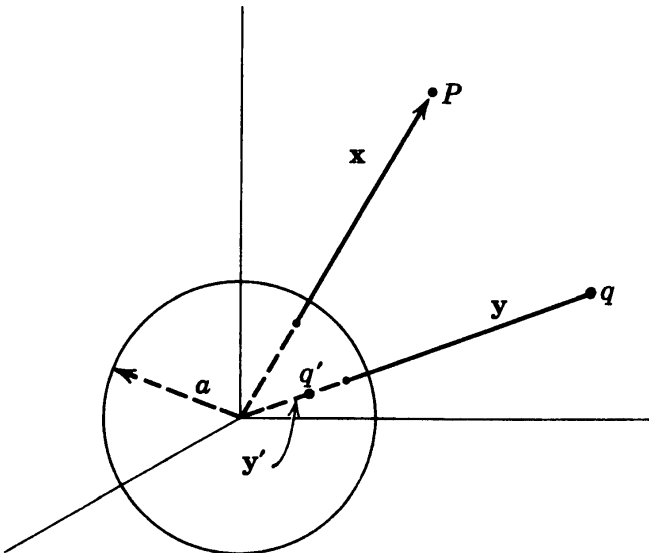
satisface la condición de borde en el plano y en infinito. Por lo tanto es la única solución.

Ejercicios:

- 1) Encuentre la densidad de carga  $\sigma$  sobre el conductor

2) Encuentre la fuerza entre el conductor y la carga.

## Esfera conductora conectada a tierra



**Figure 2.**

$$\Phi(x) = \frac{1}{4\pi\epsilon_0} \left( \frac{q}{|x - y\hat{n}|} + \frac{q'}{|x - y'\hat{n}|} \right) \quad \Phi(a\hat{x}) = 0$$

$$\frac{q}{|a\hat{x} - y\hat{n}|} + \frac{q'}{|a\hat{x} - y'\hat{n}|} = 0 = \frac{q/a}{|\hat{x} - \frac{y}{a}\hat{n}|} + \frac{q'/y'}{\left| \frac{a}{y'}\hat{x} - \hat{n} \right|}$$

Los denominadores son iguales si:  $\frac{a}{y'} = \frac{y}{a}, y' = \frac{a^2}{y} < a$ .

$$q'/y' = -q/a$$

$$q' = -q\frac{a}{y}$$

## Densidad de carga inducida

$$\sigma = -\varepsilon_0 \frac{\partial \Phi}{\partial x} \Big|_{x=a} =$$

# Fuerza

$$F = \frac{qq'}{4\pi\varepsilon_0} \frac{1}{(y - y')^2}$$

## Carga puntual y esfera cargada conductora

La carga de la esfera es  $Q$ .

Por superposición:

- 1) Se induce carga  $q'$  a potencial 0.
- 2) Se desconecta la esfera y se agrega una carga  $Q - q'$  en el origen.

$$\Phi(x) = \frac{1}{4\pi\epsilon_0} \left( \frac{q}{|x - y\hat{n}|} + \frac{q'}{|x - y'\hat{n}|} + \frac{Q - q'}{|x|} \right)$$

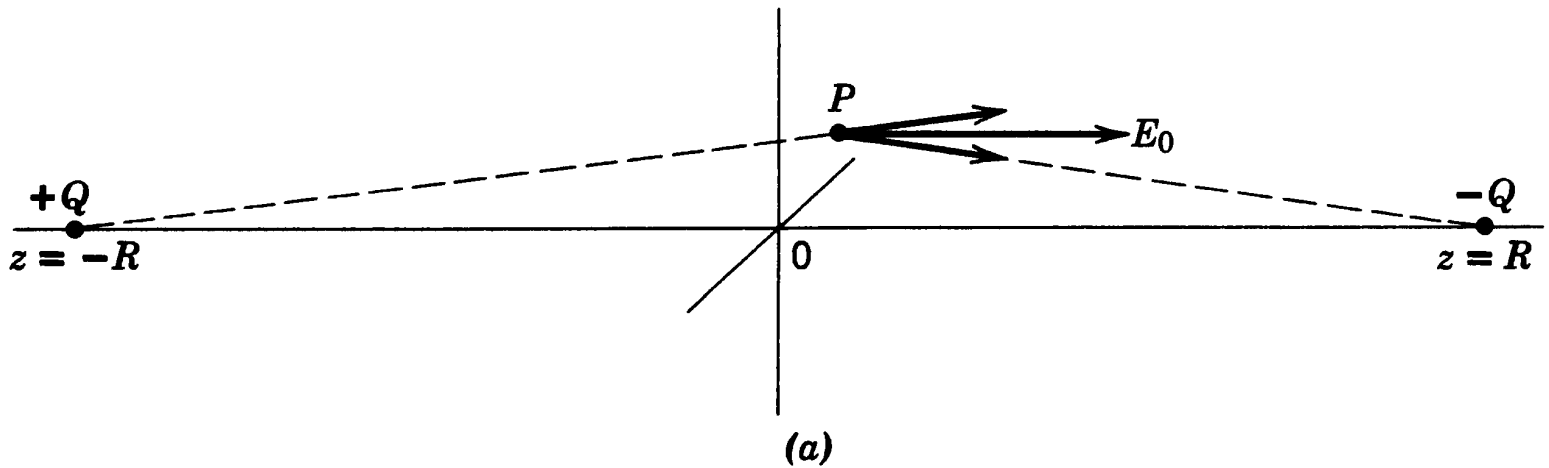
Ejercicio: Encontrar la fuerza entre la carga y la esfera.

## Carga puntual y esfera conductora a potencial $V$

$$\Phi(x) = \frac{1}{4\pi\epsilon_0} \left( \frac{q}{|x - y\hat{n}|} + \frac{q'}{|x - y'\hat{n}|} + \frac{Va}{|x|} \right)$$

Ejercicio: Encontrar la fuerza entre la carga y la esfera.

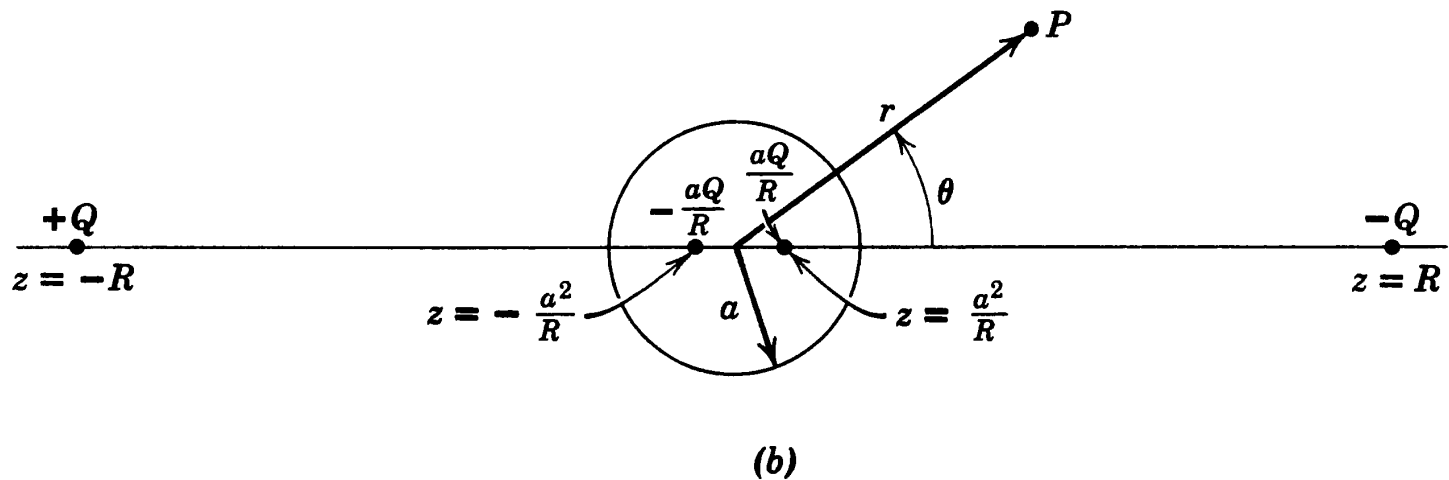
# Esfera y campo eléctrico uniforme



(a)

Figure 3.

$$\begin{aligned}\Phi(x) &= \frac{Q}{4\pi\varepsilon_0} \left( \frac{1}{|x\hat{x} + R\hat{z}|} - \frac{1}{|x\hat{x} - R\hat{z}|} \right) = \frac{Q}{4\pi\varepsilon_0 R} \left( \frac{1}{\left| \frac{x}{R}\hat{x} + \hat{z} \right|} - \frac{1}{\left| \frac{x}{R}\hat{x} - \hat{z} \right|} \right) \sim \\ &\quad \frac{Q}{4\pi\varepsilon_0 R} \left( 1 - \frac{x}{R}\hat{x} \cdot \hat{z} - 1 - \frac{x}{R}\hat{x} \cdot \hat{z} \right) = -E_0 \hat{z} \cdot x \\ E_0 &= \frac{Q}{2\pi\varepsilon_0 R^2}\end{aligned}$$



**Figure 4.**

$$\begin{aligned}
 \Phi(x) &= \frac{Q}{4\pi\varepsilon_0} \left( \frac{1}{|x\hat{x} + R\hat{z}|} - \frac{1}{|x\hat{x} - R\hat{z}|} + \frac{a/R}{\left|x\hat{x} - \frac{a^2}{R}\hat{z}\right|} - \frac{a/R}{\left|x\hat{x} + \frac{a^2}{R}\hat{z}\right|} \right) \sim \\
 &\quad -E_0\hat{z}.x + \frac{Qa}{4\pi\varepsilon_0 Rx} \left( 1 + \frac{a^2}{Rx}\hat{z}.\hat{x} - 1 + \frac{a^2}{Rx}\hat{z}.\hat{x} \right) = \\
 &\quad -E_0\hat{z}.x + \frac{Qa^3\hat{z}.\hat{x}}{2\pi\varepsilon_0 R^2 x^2} = -E_0\hat{z}.x + E_0 \frac{a^3\hat{z}.\hat{x}}{x^2} = \\
 &\quad -E_0 \left( r - \frac{a^3}{r^2} \right) \cos\theta \quad , \quad r = x
 \end{aligned}$$

La carga superficial inducida es:  $\sigma = -\varepsilon_0 \frac{\partial \Phi}{\partial r} |_{r=a} = \varepsilon_0 E_0 \left( 1 + 2 \left( \frac{a}{r} \right)^3 \right) \cos\theta |_{r=a} = 3\varepsilon_0 E_0 \cos\theta$

## Función de Green para la esfera

La función de Green para el volumen exterior a la esfera con condiciones de borde de Dirichlet es (ver transparencia 2):

$$G(\vec{x}, \vec{x}') = \frac{1}{|\vec{x} - \vec{x}'|} - \frac{a}{x' \left| \vec{x} - \frac{a^2}{x'^2} \vec{x}' \right|}$$

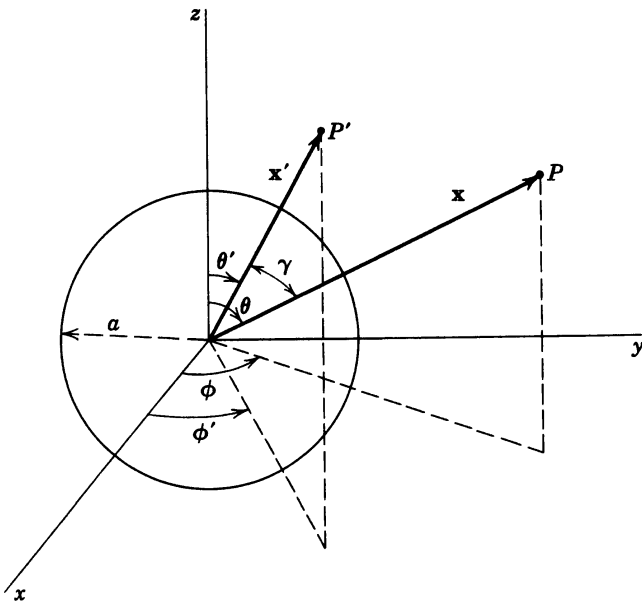


Figure 5.

En coordenadas esféricas es (Ver figura):

$$G(\vec{x}, \vec{x}') = \frac{1}{\sqrt{x^2 + x'^2 - 2xx'\cos\gamma}} - \frac{1}{\sqrt{\frac{x^2x'^2}{a^2} + a^2 - 2xx'\cos\gamma}}$$

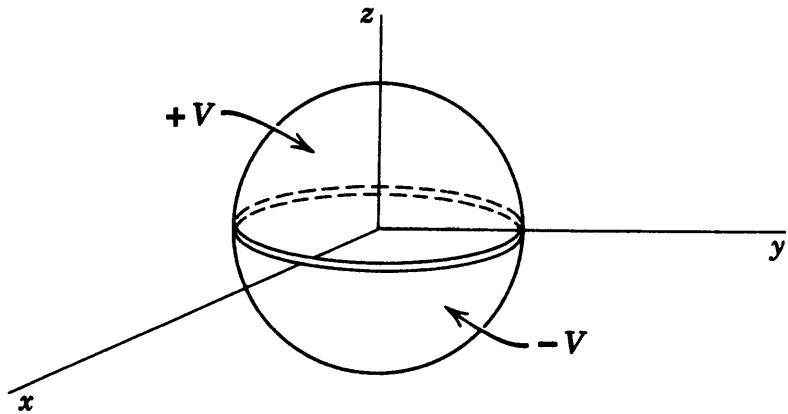
$$\frac{\partial G'}{\partial n'}|_{x'=a} = -\frac{x^2 - a^2}{a(x^2 + a^2 - 2ax\cos\gamma)^{\frac{3}{2}}}$$

Notar que para el potencial exterior a la esfera  $\hat{n}' = -\hat{r}'$

## Potencial exterior con potencial dado en la esfera

$$\Phi(\vec{x}) = \frac{1}{4\pi} \int d\Omega' \Phi(a, \theta', \phi') \frac{a(x^2 - a^2)}{(x^2 + a^2 - 2ax \cos \gamma)^{\frac{3}{2}}}, \cos \gamma = \cos \theta \cos \theta' + \sin \theta \sin \theta' \cos(\phi - \phi')$$

## Esfera conductora con hemisferios con potencial opuesto



**Figure 6.**

$$\Phi(x, \theta, \phi) = \frac{V}{4\pi} \int_0^{2\pi} d\phi' \left\{ \int_0^1 d(\cos \theta') - \int_{-1}^0 d(\cos \theta') \right\} \frac{a(x^2 - a^2)}{(x^2 + a^2 - 2ax \cos \gamma)^{\frac{3}{2}}}$$

$\theta' \rightarrow \pi - \theta'$  en la segunda integral:

$$\Phi(x, \theta, \phi) = \frac{V}{4\pi} a (x^2 - a^2) \int_0^{2\pi} d\phi' \int_0^1 d(\cos \theta') \left\{ \frac{1}{(x^2 + a^2 - 2ax \cos \gamma)^{\frac{3}{2}}} - \frac{1}{(x^2 + a^2 + 2ax \cos \gamma)^{\frac{3}{2}}} \right\}$$

El potencial sobre el eje  $z$  puede ser evaluado en forma exacta: $\cos \gamma = \cos \theta' = u$

$$\begin{aligned}\Phi(x, \theta, \phi) &= \frac{V}{4\pi} a (x^2 - a^2) \int_0^{2\pi} d\phi' \int_0^1 du \left\{ \frac{1}{(x^2 + a^2 - 2axu)^{\frac{3}{2}}} - \frac{1}{(x^2 + a^2 + 2axu)^{\frac{3}{2}}} \right\} = \\ &\quad \frac{V}{2} a (x^2 - a^2) \left\{ \frac{-2/(-2ax)}{(x^2 + a^2 - 2axu)^{\frac{1}{2}}} - \frac{-2/(2ax)}{(x^2 + a^2 + 2axu)^{\frac{1}{2}}} \right\}_{u=0}^{u=1} = \\ &\quad \frac{V}{2x} (x^2 - a^2) \left\{ \frac{1}{(x^2 + a^2 - 2ax)^{\frac{1}{2}}} + \frac{1}{(x^2 + a^2 + 2ax)^{\frac{1}{2}}} - \frac{1}{(x^2 + a^2)^{\frac{1}{2}}} - \frac{1}{(x^2 + a^2)^{\frac{1}{2}}} \right\} = \\ &\quad V \left\{ 1 - \frac{(x^2 - a^2)}{x(x^2 + a^2)^{\frac{1}{2}}} \right\}\end{aligned}$$

- $(f, g) = \int_a^b dx f^*(x)g(x)$  define un producto interno en el espacio vectorial  $V$  de las funciones complejas definidas en  $(a, b)$ . Demostrarlo.
- Si  $(f_i, f_j) = 0, i \neq j, i = 1, 2\dots \{f_i(x)\}$  es un conjunto de funciones ortogonales. Es ortonormal si  $(f_i, f_j) = \delta_{ij}$
- Si  $\{f_i(x)\}$  es una base de  $V$  diremos que  $\{f_i(x)\}$  es completo.
- Sea  $\{f_i(x)\}$  ortonormal y completo,  $g(x) = \sum_i g_i f_i(x), g_i = \int_a^b dx' g(x') f_i^*(x')$
- Reemplazando  $g_i$ :  $g(x) = \sum_i f_i(x) \int_a^b dx' g(x') f_i^*(x') = \int_a^b dx' g(x') \sum_i f_i(x) f_i^*(x'),$   
 $\sum_i f_i(x) f_i^*(x') = \delta(x - x')$ , Relación de completitud.

- $\left\{ \sqrt{\frac{2}{a}} \sin\left(\frac{2\pi mx}{a}\right), \sqrt{\frac{2}{a}} \cos\left(\frac{2\pi mx}{a}\right) \right\}, m = 1, 2, \dots (0 \text{ para el cos})$ . Intervalo  $(-\frac{a}{2}, \frac{a}{2})$
- $f(x) = \frac{1}{2}A_0 + \sum_{m=1}^{\infty} \left( A_m \cos\left(\frac{2\pi mx}{a}\right) + B_m \sin\left(\frac{2\pi mx}{a}\right) \right)$
- $A_m = \frac{2}{a} \int_{-a/2}^{a/2} dx f(x) \cos\left(\frac{2\pi mx}{a}\right), B_m = \frac{2}{a} \int_{-a/2}^{a/2} dx f(x) \sin\left(\frac{2\pi mx}{a}\right)$
- En más dimensiones, la base es un producto de senos y cosenos dependientes de cada nueva coordenada.

# Integral de Fourier

- $U_m(x) = \frac{1}{\sqrt{a}} e^{i 2\pi m x / a}$ ,  $m \in \mathbb{Z}$ . Intervalo  $(-\frac{a}{2}, \frac{a}{2})$
- $f(x) = \frac{1}{\sqrt{a}} \sum_m A_m e^{i 2\pi m x / a}$ ,  $A_m = \frac{1}{\sqrt{a}} \int_{-a/2}^{a/2} dx' f(x') e^{-i 2\pi m x / a}$
- $a \rightarrow \infty$ ,  $\frac{2\pi m}{a} \rightarrow k$ ,  $\sum_m \rightarrow \int dm = \frac{a}{2\pi} \int_{-\infty}^{\infty} dk$ ,  $A_m \rightarrow \sqrt{\frac{2\pi}{a}} A(k)$
- $f(x) = \frac{1}{\sqrt{2\pi}} \int_{-\infty}^{\infty} dk A(k) e^{i k x}$ ,  $A(k) = \frac{1}{\sqrt{2\pi}} \int_{-\infty}^{\infty} dx f(x) e^{-i k x}$
- Ortogonalidad:  $\frac{1}{2\pi} \int_{-\infty}^{\infty} dx e^{i(k-k')x} = \delta(k - k')$
- Completitud:  $\frac{1}{2\pi} \int_{-\infty}^{\infty} dk e^{i(x-x')k} = \delta(x - x')$